

# Особенности механизма переноса заряда в структурах на основе тонких слоев триселенида мышьяка, модифицированных висмутом

© Н.И. Анисимова, В.А. Бордовский, Г.И. Грабко, Р.А. Кастро<sup>¶</sup>

Российский государственный педагогический университет им. А.И. Герцена,  
191186 Санкт-Петербург, Россия

(Получена 30 ноября 2009 г. Принята к печати 22 января 2010 г.)

Проведено исследование влияния количества вводимой примеси висмута на процессы переноса и накопления заряда в аморфных слоях  $\text{As}_2\text{Se}_3$ . Обнаружена связь между релаксационными процессами переноса и изменением внутренней структуры исследуемых материалов. В изученных слоях определены физические параметры, характеризующие протекающие электронные процессы: контактная емкость, плотность локализованных состояний, ответственных за аккумуляцию зарядов в контактной области, постоянная зарядки контактной области, подвижность носителей зарядов. Обсуждаются механизмы наблюдаемых эффектов.

Во многих случаях при воздействии постоянного напряжения на сэндвич-структуры, основу которых составляют высокоомные полупроводники, в них наблюдается медленная релаксация тока, сопровождающаяся значительным накоплением заряда во внутренних областях исследуемых систем. Последнее обстоятельство очень часто связывается с наличием локальных состояний в запрещенной зоне, обусловленных дислокациями, неоднородностями, нарушениями структуры, примесями и т.д.

Так, при инъекции с контакта носителей заряда (НЗ) в объем диэлектрика их перенос может происходить через зону проводимости. Если времена пролета НЗ через диэлектрик превышают времена захвата в ловушки, то ток должен течь до напряжения полного заполнения последних [1,2]. С другой стороны, в работе [2] предложена принципиально иная модель релаксационного процесса для случая, когда локальные центры обладают сравнимо глубокими уровнями захвата свободных носителей и когда возможна прыжковая проводимость по этим центрам в электрическом поле. В этой ситуации, по утверждению авторов [2], основной вклад в электропроводность дают НЗ, переносимые не через разрешенную, а через запрещенную зону. Теория данного процесса, названная „эстафетным“ механизмом переноса заряда в системе металл–диэлектрик–металл, была достаточно успешно применена при описании релаксации тока в высокоомных полупроводниках различной природы [3–8] и, в частности, в халькогенидных стеклообразных полупроводниках (ХСП) системы As–Se [7,8]. К сожалению, в перечисленных работах практически не уделялось внимания влиянию примесей на данный механизм переноса заряда.

С другой стороны, результаты исследований электрических и оптических свойств модифицированного  $\text{As}_2\text{Se}_3$ , проведенных Цэндиным и др. [9], позволяют считать, что примеси различных металлов, и частности Bi, оказывают значительное влияние на изменение его внутренней структуры. Как известно, триселенид мышьяка  $\text{As}_2\text{Se}_3$  является классическим представителем

ХСП, имеющих квазинепрерывный спектр локализованных состояний, расположенных в центре запрещенной зоны, создаваемых заряженными дефектами  $D^+$ ,  $D^-$ , по которым осуществляется прыжковая проводимость в электрическом поле [9,10].

В связи с выше изложенным цель данной работы — исследование влияния количества вводимой примеси Bi на релаксационные явления в аморфных слоях  $\text{As}_2\text{Se}_3$  и выяснение природы механизмов этих процессов.

Образцы приготавливались в виде сэндвич-структур Al– $\text{As}_2\text{Se}_3\langle\text{Bi}\rangle_x$ –Al. Их основу составляли модифицированные слои  $(\text{As}_2\text{Se}_3)_{1-x}\text{Bi}_x$  ( $x = 0–0.2$ ), получаемые методом высокочастотного распыления. Изготовление производилось на установке ионно-плазменного высокочастотного распыления типа УРМ-3-021, на частоте электромагнитного поля 13.6 MHz, в атмосфере аргона при давлении  $8 \cdot 10^{-3}$  мм.рт.ст. Ток в плазме составлял 400 mA, амплитуда высокочастотного (ВЧ) электромагнитного поля относительно катода равнялась 400 В. Толщина полученных пленок измерялась с помощью интерферометра МИИ-4 и была порядка  $L \approx 1$  мкм, площадь перекрытия электродов  $S$  составляла  $14 \text{ mm}^2$ . Экспериментальные кривые  $I(t)$  снимались по стандартной методике с применением электрометрического усилителя В7-30, двухкоординатного самописца и генератора специальной формы. Поляризация образцов осуществлялась с помощью источника постоянного напряжения ( $U = 0.02–1$  В), что позволяло создавать электрические поля напряженностью  $10^2–10^4$  В/см.

Из рис. 1, где представлены зависимости темнового тока от времени для трех значений концентрации вводимой примеси ( $x$ ), видно, что при увеличении  $x$  характер релаксационного процесса значительно изменяется. Если для  $x = 0$  ат.% Bi изменение тока подчиняется гиперболическому закону  $I \propto t^{-n}$ , то при  $x > 0$  ат.% Bi  $I(t)$  описывается набором гипербол. При этом для всех кривых наблюдалась общая закономерность: быстрое спадание тока в начальный момент времени ( $t \lesssim 10$  с), а затем медленная релаксация до достижения определенного постоянного значения, что свидетельствовало о накоплении значительного заряда  $Q$  в системе.

<sup>¶</sup> E-mail: recastro@fromru.com

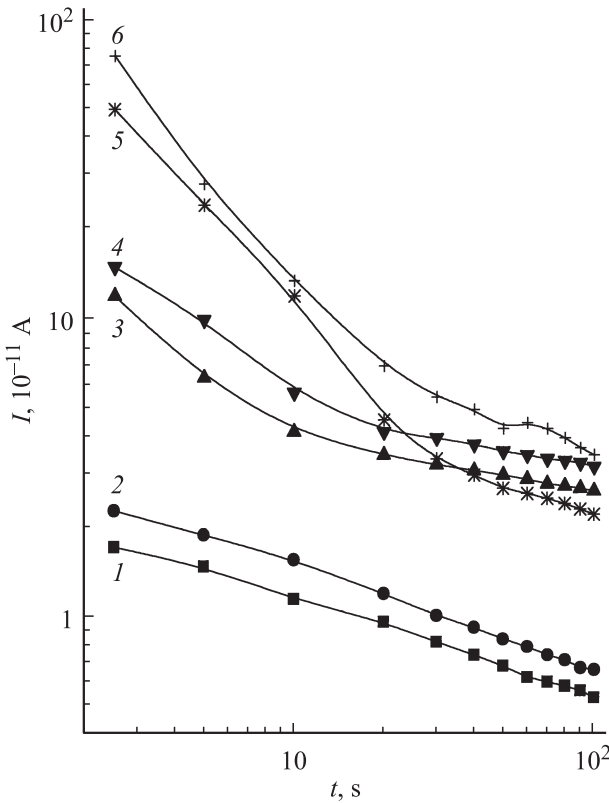


Рис. 1. Спад темнового тока в образцах  $\text{As}_2\text{Se}_3(\text{Bi})_x$ . Величины  $x$ , ат.% Bi: 1, 2 — 0; 3, 4 — 5; 5, 6 — 10 при напряженности электрического поля, В/см: 1, 3, 5 —  $6 \cdot 10^2$ ; 2, 4, 6 —  $8 \cdot 10^2$ .

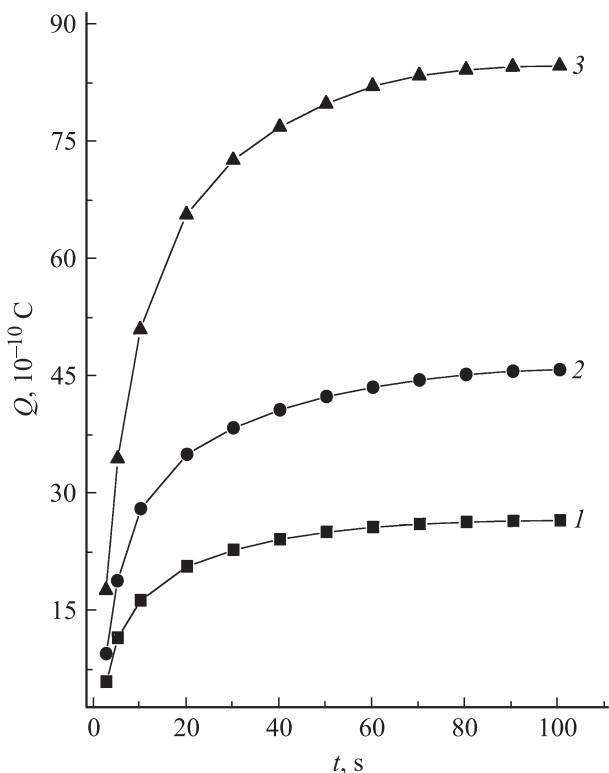


Рис. 2. Зависимость  $Q(t)$  при концентрации  $x = 20$  ат.% Bi. Значение напряженности электрического поля, В/см: 1 —  $6 \cdot 10^2$ , 2 —  $8 \cdot 10^2$ , 3 —  $2 \cdot 10^3$ .

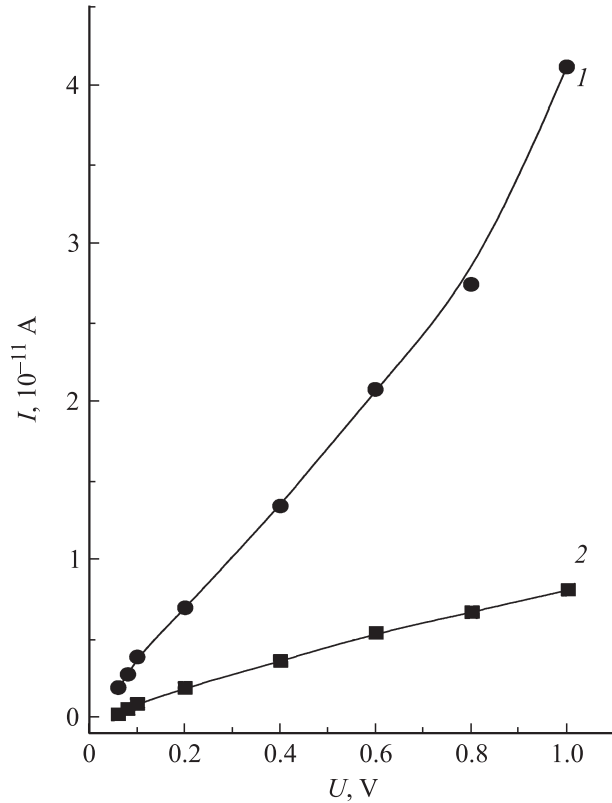


Рис. 3. Вольт-амперные характеристики для нелегированных образцов  $\text{As}_2\text{Se}_3$ : 1 — начальные значения тока, 2 — ток через 100 с после начала релаксационного процесса.

Величина  $Q$ , так же как и ток, зависела от времени действия приложенного электрического поля и вычислялась по площади, лежащей под кривой  $I(t)$  [3]. Характер зависимостей  $Q(t)$  (рис. 2) совпадает с поведением аналогичных характеристик, полученных ранее в работах [3–5]. В начале релаксационного процесса величина заряда растет достаточно интенсивно, но при увеличении времени действия  $Q$  накапливается медленнее и постепенно достигает насыщения.

Также, подобно полученным ранее результатам [3, 5, 6], вследствие изменения тока во времени вольт-амперные характеристики (ВАХ) исследованных структур показывали гистерезис. На рис. 3 показаны ВАХ для пленок чистого  $\text{As}_2\text{Se}_3$ , построенные по начальным (кривая 1) и установившимся (кривая 2) значениям тока, соответствующим окончанию релаксационного процесса. Увеличение времени действия напряжения приводит к смещению ВАХ в сторону меньших токов и уменьшению угла наклона кривых  $I(U)$  к оси абсцисс.

Как было сказано выше, подобное поведение зависимостей  $I(t)$ , ВАХ и  $Q(t)$  наблюдалось для ряда различных высокоомных полупроводников:  $\text{CdSe}$  [3],  $\text{As}_2\text{S}_3$  [4],  $\text{GaSe}$  [5],  $\text{TlGaSe}_2$  [6] и объяснялось на основании модели [2]. Согласно [2], перенос инжектированного в образец заряда происходит с помощью прыжкового механизма по глубоким уровням захвата в запрещенной

Физические параметры, характеризующие электронные процессы, протекающие в прианодной области

$x$ , ат.% Bi	$C_k, \Phi$	$N_t, \text{ см}^{-3}$	$N_F, \text{ см}^{-3}$	$\mu_c, \text{ см}^2/(\text{В} \cdot \text{с})$	$\tau, \text{ с}$	$R_k, \Omega$
0	$5.8 \cdot 10^{-9}$	$8.1 \cdot 10^{15}$	$(1.7-3.1) \cdot 10^{18}$	$1.77 \cdot 10^{-8}$	25	$4.5 \cdot 10^9$
5	$1.04 \cdot 10^{-8}$	$7.4 \cdot 10^{16}$	$1.59 \cdot 10^{-7}$	8.1	$6.9 \cdot 10^8$	
10	$4.4 \cdot 10^{-8}$	$8.02 \cdot 10^{17}$	$(5.5-6.9) \cdot 10^{18}$	$3.92 \cdot 10^{-7}$	7.5	$1.6 \cdot 10^8$
20	$4.8 \cdot 10^{-8}$	$9.6 \cdot 10^{17}$	$(1.3-1.5) \cdot 10^{19}$	$3.51 \cdot 10^{-7}$	9.1	$1.9 \cdot 10^8$

зоне. Вследствие этого на границе с анодом существует энергетический барьер, возникающий из-за разности энергии сродства электрона к локальному центру и работы выхода металла анода, что приводит к накоплению значительного заряда около последнего. Это вызывает перераспределение поля, прикладываемого к образцу, возникновение обратной эдс и, как следствие, уменьшение тока, текущего через слой полупроводника.

Одно из основных уравнений, дающих связь между зарядом  $Q$ , накопленным в исследуемой системе, и током, текущим через нее, имеет вид [2]

$$Q = UC_k - \sqrt{\frac{C_k L^3 I}{\mu_c d_k}}, \quad (1)$$

где  $C_k$  — контактная емкость области сосредоточения электронов у анода,  $\mu_c$  — подвижность заряда, переноси-

мого через запрещенную зону,  $d_k$  — ширина контактной области.

На рис. 4 представлены зависимости заряда  $Q$ , накопленного за фиксированные промежутки действия приложенного поля, от корня квадратного из значений тока, соответствующих концам этих промежутков. Линейность графиков  $Q(I^{1/2})$  находится в хорошем согласии с формулой (1), согласно которой  $Q \propto I^{1/2}$  в каждый момент времени. Полученные прямые отсекают на оси ординат отрезки  $Q_0$ , пропорциональные приложенному напряжению, что позволяет определить емкость, соответствующую контактной области (см. вставку на рис. 4). Величины  $C_k$  для 4 значений концентрации примеси приведены в таблице. Из табличных данных следует, что емкость контакта значительно увеличивается при изменении  $x$  от 0 до 10 ат.% Bi. При дальнейшем росте количества вводимой примеси величина  $C_k$  остается практически постоянной.

Вычислив ширину контактной области, зная ее геометрические размеры и максимальную величину заряда  $Q$ , аккумулированного в этой области, можно оценить и концентрацию ловушек  $N_t$ , ответственных за процессы накопления зарядов. Для чистого  $\text{As}_2\text{Se}_3$  ширина контактной области  $d_k \approx 2.14 \cdot 10^{-7}$  м, что составляет приблизительно 20% от толщины исследуемого слоя. С увеличением количества вводимой примеси  $d_k$  значительно уменьшается, и для  $x \gtrsim 10$  ат.% Bi область скопления электронов у анода занимает уже только  $\sim 2\%$  объема модифицированной пленки. Данное обстоятельство указывает на существенное преобразование внутренней структуры исследуемого материала и, в частности, приконтактной области. Подтверждением этому могут служить и значительные изменения в спектре локализованных состояний, связанные с увеличением концентрации вводимой примеси (см. таблицу).

Возвращаясь к уравнению (1) и рис. 4, продолжением прямых  $Q(I^{1/2})$  до пересечения с осью абсцисс находим величину тока отсечки  $I_c$ , которому соответствует условие  $Q = 0$ . Подставляя данные значения тока и заряда в (1), можно получить выражение для подвижности  $\mu_c$ , расчет которой был произведен для напряженности поля:  $E = 10^3$  В/см (см. таблицу). Зная  $\mu_c$ , можно определить постоянную зарядки контактной емкости по формуле [2]

$$\tau = \frac{L^3}{\mu_c d_k U}, \quad (2)$$

что в свою очередь позволяет найти величину сопротивления области скопления электронов у анода  $R_k$

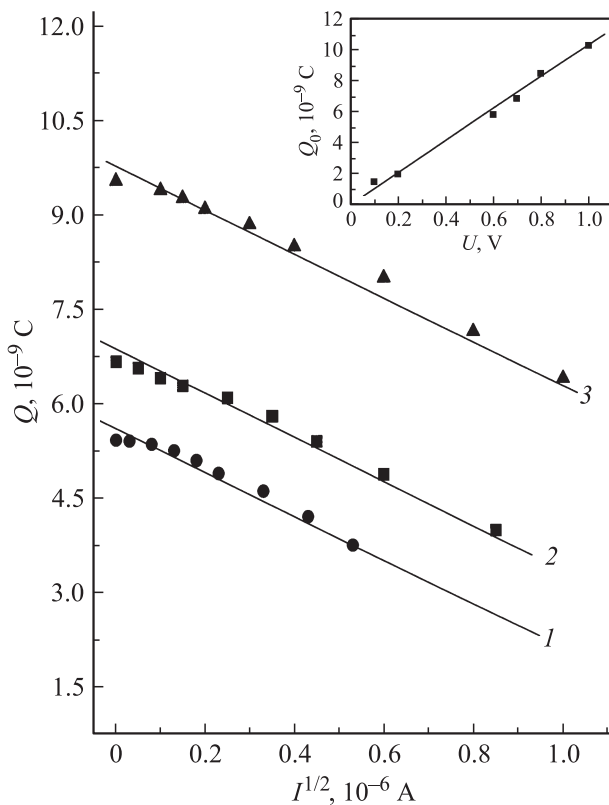


Рис. 4. Зависимость  $Q$  от  $I^{1/2}$  в модифицированных образцах при  $x = 5$  ат.% Bi. Значение напряженности электрического поля, В/см: 1 —  $6 \cdot 10^3$ , 2 —  $7 \cdot 10^3$ , 3 —  $10^4$ . На вставке — значения  $Q_0$  в зависимости от приложенного напряжения  $U$ .

$(\tau = R_k C_k)$  (значения  $\tau$  и  $R_k$  также приведены в таблице). Как следует из табличных данных, рост  $x$  приводит к увеличению подвижности и уменьшению  $R_k$  (в обоих случаях более чем на порядок). При этом изменения  $\tau$  не столь значительны.

Из анализа полученных результатов прослеживается одна общая закономерность, связанная с тем, что практически все характеристики ( $C_k$ ,  $d_k$ ,  $N_t$ ,  $\mu_c$ ,  $R_k$ ) значительно изменяются при росте концентрации вводимой примеси до значений  $x \approx 10$  ат.% Bi, после чего наступает некоторое насыщение. Более того,  $\mu_c$  и  $R_k$  имеют максимальное и минимальное значения при этой концентрации висмута (хотя разница этих величин для  $x = 10$  и 20 ат.% незначительна).

Согласно [9], модифицированные ХСП рассматриваются как микронеоднородные среды, состоящие из следующих динамических компонент: упорядоченных областей с повышенным содержанием примеси (кластеров, размеры которых ограничены и не превышают  $\sim 1000$  Å), расположенных в неупорядоченной рыхло упакованной матрице исходного материала. На основании этого можно предположить следующее. По-видимому, при росте  $x$  до 10 ат.% реструктуризация исследуемых составов происходит как внутри объема образцов, так и в приповерхностных слоях, на контакте. При дальнейшем увеличении количества примеси изменения структуры связаны в основном только с объемными частями исследуемых систем.

Определенным подтверждением этих выводов может служить сравнение полученных данных с предыдущими результатами [11], где рассчитывалась плотность локализованных состояний вблизи уровня Ферми  $N_F$ , в объемных областях аналогичных материалов (см. таблицу). При росте  $x$  от 0 до 10 ат.%  $N_F$  увеличивается в  $\sim 2$ –4 раза, а  $N_t$  почти на 2 порядка. С другой стороны, при росте  $x$  от 10 до 20 ат.%  $N_F$  продолжает увеличиваться в  $\sim 2$  раза, в то время как  $N_t$  только на  $\sim 7\%$ .

По-видимому, при  $x \gtrsim 10$  ат.% для приконтактных слоев наблюдается определенное „насыщение“ и невозможность дальнейшей значительной реструктуризации в этой области. Кроме того, при модифицировании примесью Bi до значений 20 ат.% материал по своей структуре становится фактически гетерофазным, в связи с чем релаксационные свойства таких систем можно рассматривать в рамках теории протекания тока в бинарных смесях [12], что выходит за рамки данного исследования и является объектом дальнейшего изучения.

Таким образом, на основании вышеизложенного можно сделать выводы о значительном влиянии примеси висмута на механизм переноса заряда в сэндвич-структуратах на основе аморфных слоев  $\text{As}_2\text{Se}_3\langle\text{Bi}\rangle$  (и, в частности, приконтактных областях), что обусловлено появлением упорядоченных включений с повышенным содержанием Bi. Наиболее существенные изменения происходят при росте концентрации примеси до 10 ат.% Bi. Последнее обстоятельство связано, по-видимому, с тем, что при

больших концентрациях основной процесс реструктуризации происходит в объемных областях.

## Список литературы

- [1] М. Ламперт, П. Марк. *Инжекционные токи в твердых телах* (М., Мир, 1973).
- [2] Б.Л. Тимман. ФТП, **7** (2), 225 (1973).
- [3] Б.Л. Тиман, А.П. Карпова. ФТП, **7** (2), 230 (1973).
- [4] А.М. Андриеш, М.Р. Черний. В сб.: *Кристаллические и стеклообразные полупроводники* (Кишинев, Штиинца, 1977) с. 127.
- [5] Г.Б. Абдуллаев, Б.Г. Тагиев, С.Н. Мустафаева, И.А. Гасанов, Т.Х. Азизов, Э.Н. Ибрагимова. ФТП, **14** (9), 1817 (1980).
- [6] С.Н. Мустафаева, С.Д. Мамедбейли, М.М. Асадов, И.А. Мамедбейли, К.М. Ахмедли. ФТП, **30** (12), 2154 (1996).
- [7] В.Т. Аванесян, В.А. Бордовский, Р.А. Кастро. ФТП, **31** (11), 1340 (1997).
- [8] В.Т. Аванесян, Г.А. Бордовский, Р.А. Кастро. ФХС, **26** (3), 369 (2000).
- [9] Электронные явления в халькогенидных стеклообразных полупроводниках, под ред. К.Д. Цэндина (СПб., Наука, 1996).
- [10] Н. Мотт, Э. Дэвис. Электронные процессы в некристаллических веществах (М., Мир, 1982).
- [11] В.Т. Аванесян, В.А. Бордовский, Р.А. Кастро. ФХС, **26** (3), 420 (2000).
- [12] M. Pollak, I. Riess. J. Phys. C: Sol. St. Phys., **9** (12), 2339 (1976).

Редактор Т.А. Полянская

## The features of mechanism of the charge transport in structures on a bases of triselenide arsenic, modified by bismuth

N.I. Anisimova, V.A. Bordovsky, G.I. Grabko,  
R.A. Castro

Herzen State Pedagogical University of Russia,  
191186 St. Petersburg, Russia

**Abstract** The influence of the bismuth concentration of the charge transport and accumulation processes in amorphous  $\text{As}_2\text{Se}_3$  layers was investigated. The correlation between the relaxation processes and the structure change is observed. The values of main physical parameters: the contact capacity, the mobility and the density of localized states were calculated. The mechanism of observed effects in under discussion.